



امید ریاضی نرخ پوشش برای ماتریس‌های هلمن

ناصرحسین غروی^{۱*}، عبدالرسول میرقداری^۲، محمد عبدالله ازگمی^۳ و سید احمد موسوی^۴

^{۱,۲}دانشکده فناوری اطلاعات و ارتباطات، دانشگاه جامع امام حسین (ع)، تهران، ایران

^۳دانشکده مهندسی کامپیوتر، دانشگاه علم و صنعت ایران، تهران، ایران

^۴دانشکده ریاضی و کامپیوتر، دانشگاه شهید باهنر کرمان، کرمان، ایران

چکیده

مصالحه حافظه زمان یک الگوریتم احتمالاتی برای وارون کردن توابع یک طرفه، با استفاده از داده های از پیش محاسبه شده است. هلمن در سال ۱۹۸۰ این روش را معرفی کرد و یک کران پایین برای احتمال موفقیت آن به دست آورد. پس از آن نیز تحلیل های پژوهش گران برای بررسی احتمال موفقیت، بر اساس همین کران پایین بوده است. در این مقاله، ابتدا به بررسی امید ریاضی نرخ پوشش یک ماتریس هلمن می بردازیم؛ سپس، این نرخ را برای ماتریس های هلمنی که فقط از یک زنجیره تشکیل شده اند، محاسبه کردایم. نشان داده ایم که امید ریاضی نرخ پوشش برای چنین ماتریس هایی بیشترین و برابر با 0.85 است. در ادامه، روش هایی برای تخمین دقیق تر این نرخ را، و با روش هلمن مقایسه و در نهایت، ماتریس های هلمنی را معرفی کردایم که فقط از یک زنجیره تشکیل شده اند؛ ولی طول این زنجیره مقداری ثابت نیست و تا رسیدن به نخستین تکرار ادامه می یابد. به صورت نظری و عملی نشان داده ایم که احتمال موفقیت برای چنین ماتریس هایی بیشتر از روش هلمن است.

واژگان کلیدی: مصالحة حافظه زمان، تابع یک طرفه، ماتریس هلمن، امید ریاضی نرخ پوشش

Expected coverage rate for the Hellman matrices

Nasser Hossein Gharavi^{*1}, Abolrasoul Mirghadri², Mohammad Abdollahi Azgomi³ & Sayyed Ahmad Mousavi⁴

^{1,2}Faculty of Information and Communication Technology, Imam Hossein Comprehensive University, Tehran, Iran.

³Faculty of Computer Engineering, Iran University of Science and Technology, Tehran, Iran

⁴Faculty of Mathematics and Computer, Shahid Bahonar University of Kerman, Kerman, Iran

Abstract

Hellman's time-memory trade-off is a probabilistic method for inverting one-way functions, using pre-computed data. Hellman introduced this method in 1980 and obtained a lower bound for the success probability of his algorithm. After that, all further analyses of researchers are based on this lower bound. In this paper, we first studied the expected coverage rate (ECR) of the Hellman matrices, which are constructed by a single chain. We showed that the ECR of such matrices is maximum and equal to 0.85. In this process, we find out that there exists a gap between the Hellman's lower bound and experimental coverage rate of a Hellman matrix. Specifically, this gap is larger, when considering the Hellman matrices constructed with one single chain. So, we are investigated to obtain an accurate formula for the ECR of a Hellman matrix. Subsequently, we presented a new formula that estimate the ECR of a Hellman matrix more accurately than the Hellman's lower bound. We showed that the given formula is closely match experimental data.

* Corresponding author

* نویسنده عهده دار مکاتبات

In the last, we introduced a new method to construct matrices which have much more ECR than Hellman matrices. In fact, each matrix in this new method is constructed with one single chain, which is non-repeating trajectory from a random point. So, this approach result in a number of matrices that each one contains a chain with variable length. The main advantage of this method is that we have more probability of success than Hellman method, however online time and memory requirements are increased. We have also verified theory of this new method with experimental results.

Keywords: time-memory trade-off, one-way function, Hellman matrix, expected coverage rate.

متمايزشده⁶ [2,3] و جداول رنگين کمانی⁷ [14] هستند. برای مطالعه بيشتر در اين زمينه مراجع [1, 8, 9, 12] بسيار مفيد هستند.

تاكون چندين کران تقریبی برای اميد رياضی نرخ پوشش⁸ يک ماتريس هلمن توسط پژوهش گران بهدست آمده است [1, 7, 8, 11]; ولی بين کران های بهدست آمده و داده های تجربی اختلاف زيادي وجود دارد. در ادامه اين مقاله و در بخش ۲، با اختصار مصالحه حافظه زمان هلمن را تشریح می کنيم و نشان می دهيم که اختلاف قابل توجهی بين کران پایين بهدست آمده توسط هلمن برای اميد رياضی نرخ پوشش، و داده های تجربی وجود دارد. در بخش سوم، اميد رياضی نرخ پوشش برای ماتريس های هلمن تشکيل شده از يک زنجيره را بررسی می کنيم و نشان می دهيم که، بيشينه اميد رياضی نرخ پوشش را در اين حالت داريم. اين موضوع نيز اختلاف بين کران پایين بهدست آمده توسط هلمن و اميد رياضی نرخ پوشش را تأييد می کند. در بخش ۴، اميد رياضی نرخ پوشش را برای يک ماتريس هلمن به طور دقیق تری بهدست آورده و نرخ ماتريس هلمن به طور احتمالي از داده های تجربی بررسی می کنیم؛ درنهایت، با توجه به اين موضوع که ماتريس های هلمن تشکيل شده از يک زنجيره، دارای بيشينه اميد رياضی نرخ پوشش هستند، ولی به دليل بزرگ بودن t ، مستلزم صرف زمان بسيار زياد در مرحله برخط هستند، در بخش ۵ سعی می کنيم، اين مشكل را مرتفع کرده و بدون تغيير اميد رياضي نرخ پوشش، زمان برخط را کاهش دهيم. لازم به ذكر است که در تمامی اين بخش ها نتایج نظری بهدست آمده با استفاده از داده های تجربی بررسی و تأييد شده اند.

۲- مصالحه حافظه زمان هلمن

در سرتاسر اين مقاله، برای تحليل احتمالاتی مصالحه حافظه زمان، فرض می کنيم $X \rightarrow f : X$ یک تابع تصادفي باشد که در آن X يك فضای جستجو از اندازه ثابت N است.

⁶ Distinguished points

⁷ Rainbow tables

⁸ Expected coverage rate (ECR)

۱- مقدمه

توابع يک طرفه^۱ به طور تقریبی در همه جای نظریه رمزگاری وجود دارند. امنیت برنامه های رمزشده، سازوکارهای تعیین اعتبار و صحت اسناد، و پروتکل های دیگر رمزگاشتنی، وابسته به دشورای وارون کردن توابع يک طرفه هستند. توابع يک طرفه توابعی هستند که محاسبه آنها به ازای يک مقدار داده شده ساده، ولی وارون کردن آنها دشوار است. منظور ما از وارون کردن يک تابع يک طرفه، فرآيندي است که برای هر نقطه داده شده در برد تابع، يک پيش تصویر² (در صورت وجود) ارائه کند. جستجوی جامع³ يکی از روش های بدیهی برای یافتن پيش تصویر يک نقطه داده شده است، که همه ورودی های ممکن را بررسی می کند؛ اما زمان مورد نیاز برای انجام يک جستجوی جامع، بيش از حد ممکن است. ساختن يک جدول مراجعه (شامل پيش تصویرهای همه نقاط)، می تواند راحله دیگری باشد. در اين حالت، برای توابعی که روی مجموعه های بزرگ عمل می کنند، به حافظه بسيار زيادي نيازمندیم. بنابراین ايجاد تعادل بين حافظه و زمان، يا به عبارت دیگر مصالحه حافظه و زمان، بسيار مهم خواهد بود.

مصالحه حافظه زمان⁴ (TMTO) يک الگوريتم احتمالاتی برای وارون کردن توابع يک طرفه است. نخستین الگوريتم TMTO توسط هلمن در سال ۱۹۸۰ معرفی شده است [7]. اين الگوريتم يک مصالحه بين زمان و حافظه پيشنهاد می کند که با استفاده از ذخیره مقداری از داده های TMTO پيش محاسبه شده در يک حافظه قابل انجام است. دارای پيچيدگی زمانی کمتر (در مرحله برخط)⁵ نسبت به جستجوی جامع و پيچيدگی حافظه کمتر نسبت به جدول مراجعت است.

در ادامه تعريفها و بهبودهای بسياري از الگوريتم TMTO ارائه شده است، که مهم ترين آنها روش نقاط

¹ One-way functions

² Pre-image

³ Exhaustive search

⁴ Time memory trade-off

⁵ Online phase

نقاط انتهایی جدول هلمن مطابقت داشته باشد، با استفاده از نقطه ابتدایی متناظر می‌توانیم کل زنجیره را بسازیم و پیش‌تصویر مورد نظر را بیابیم. برای اطلاعات بیشتر در این زمینه مراجع [7, 8, 12] را بینید.

$$\text{فرض کنید } X_0 = \{x_1, x_2, \dots, x_m\} \text{ مجموعه}$$

نقاط شروع تصادفی (که ممکن است، برخی از آنها تکراری باشند) و

$$X_j \equiv f^j(X_0) \equiv \{f^j(x_0), f^j(x_1), \dots, f^j(x_m)\}$$

مجموعه نقاط ستون $(j+1)$ ماتریس هلمن باشد. همچنین فرض کنید که H_k مجموعه تمامی درآیه‌هایی باشد که در ستون‌های نخست تا $k+1$ ماتریس H قرار دارند؛ یعنی:

$$H_k = X_0 \cup X_1 \cup \dots \cup X_k = \{f^j(x_i) : 1 \leq i \leq m, 0 \leq j \leq k\}.$$

متغیر تصادفی $h_{t-1} = |H_{t-1}|$ را تعداد اعضای مجموعه

H_{t-1} تعریف می‌کنیم. در این صورت، از آنجایی که تنها درآیه‌های t ستون ابتدای ماتریس هلمن می‌توانند پیش‌تصویر

موردنظر ما باشند؛ لذا امید ریاضی برای متغیر تصادفی h_t بسیار مهم خواهد بود. توجه کنید که، بهدلیل تکراری بودن بعضی از درآیه‌های ماتریس هلمن، $h_{t-1} \leq mt$ و لذا امید ریاضی نرخ پوشش یک ماتریس هلمن به‌شکل زیر تعریف می‌شود [8]:

$$ECR(N, m, t) = \frac{1}{mt} \mathbb{E}(h_{t-1}), \quad (1)$$

که یک اندازه برای محاسبه نرخ پوشش مورد انتظار ما برای یک ماتریس هلمن است. قابل ذکر است که امید ریاضی نرخ پوشش به صورت میانگین مقادیر $\frac{h_{t-1}}{mt}$ ، برای همه توابع f روی X و همه نقاط شروع در مجموعه X_0 محاسبه می‌شود. ما در مصالحة هلمن توقع داریم که درآیه‌های ماتریس هلمن H نقاط متمایز بسیاری از فضای X را شامل شود؛ اما بعضی محدودیت‌ها باعث می‌شوند که بسیاری از درآیه‌های ماتریس هلمن تکراری باشند. این مشکلات به‌شرح زیر هستند:

نخست این‌که، ممکن است، یک زنجیره هلمن (یا یک سطر ماتریس هلمن) با خودش ادغام شود و در دور بیفت؛ این

تابع تصادفی، تابعی است که به‌طور یکنواخت و تصادفی از مجموعه همه توابع از X به X انتخاب شده باشد [10]. ترکیب k بار $f \circ f \circ \dots \circ f$ را بانماد^۱ نمایش خواهیم داد. همچنین یک زنجیره هلمن^۲، برای نقطه داده شده $x \in X$ به‌شکل زیر تعریف می‌کنیم:

$$x, f(x), f^2(x), f^3(x), \dots$$

فرض کنید تصویر y در برداشتن f داده شده باشد.

هدف الگوریتم TMTD به‌دست آوردن ورودی x در دامنه تابع است؛ به‌طوری‌که $y = f(x)$. در روش TMTD هلمن، پارامترهای صحیح و مثبت m و t را که در شرط توقف ماتریس^۳ $mt^2 = N$ صدق می‌کنند، ثابت در نظر می‌گیریم [7]. این روش از دو مرحله تشکیل شده است: مرحله پیش‌محاسبه^۴ و مرحله برخط^۵.

در مرحله پیش‌محاسبه، m نقطه تصادفی x_1, x_2, \dots, x_m ، که هر کدام مستقل از دیگر نقاط است، از مجموعه X انتخاب می‌شوند. در این صورت، ماتریس $m \times (t+1)$ هلمن به‌شکل زیر تعریف می‌شود:

$$H = \begin{pmatrix} x_1 & f(x_1) & f^2(x_1) & \dots & f^t(x_1) \\ x_2 & f(x_2) & f^2(x_2) & \dots & f^t(x_2) \\ \vdots & \vdots & \vdots & \ddots & \vdots \\ x_m & f(x_m) & f^2(x_m) & \dots & f^t(x_m) \end{pmatrix}.$$

ستون‌های ابتدا و انتهای ماتریس هلمن H را در کنار یکدیگر یک جدول هلمن^۶ می‌نامند. در مرحله پیش‌محاسبه، تنها این دو ستون ذخیره خواهند شد [7, 8].

برای به‌دست آوردن پیش‌تصویر یک نقطه داده شده y در مرحله برخط، باید بررسی کنیم که آیا نقطه داده شده در بین درآیه‌های ماتریس هلمن قرار دارد یا نه؛ چون فقط ستون‌های ابتدایی و انتهایی ماتریس هلمن ذخیره شده‌اند، یک زنجیره به شکل $y, f(y), f^2(y), f^3(y), \dots$ تشکیل می‌دهیم و در هر مرحله، مقدار به‌دست آمده $f^i(y)$ را با نقاط انتهایی جدول هلمن مقایسه می‌کنیم. اگر $f^i(y)$ با یکی از

¹ Hellman chain

² Matrix stopping rule

³ Precomputation phase

⁴ Online phase

⁵ Hellman table

$$1 - \left(1 - ECR(N, m, t) \cdot \frac{mt}{N}\right)^r.$$

هنگامی که $N \rightarrow \infty$ این مقدار به طور تقریبی برابر است با:

$$1 - e^{-ECR(N, m, t) \frac{mt}{N} r}. \quad (2)$$

بنابراین برای محاسبه احتمال موفقیت مصالحه هلمن، کافی است، امید ریاضی نرخ پوشش را برای یکی از ماتریس‌های هلمن به دست آوریم؛ پس تمرکز ما در ادامه این مقاله بر روی امید ریاضی نرخ پوشش یک ماتریس هلمن خواهد بود.

هلمن در [7]، کران پایین زیر را برای امید ریاضی نرخ پوشش یک ماتریس هلمن به دست آورد:

$$ECR(N, m, t) \geq \frac{1}{mt} \sum_{i=1}^m \sum_{j=1}^t \left(1 - \frac{it}{N}\right)^j. \quad (3)$$

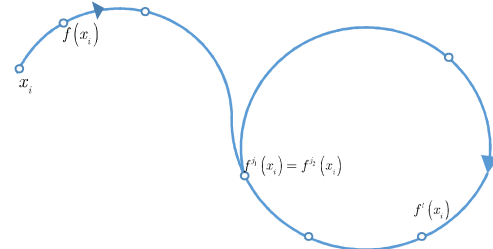
هلمن به صورت عددی تشریح کرد، هنگامی که $mt^2 = N$ مقدار این کران پایین به طور تقریبی برابر با $\frac{1}{8}$ است. در مرجع [11]، قسمت سمت راست معادله (3) با دقت بیشتر محاسبه شد و کران زیر در حالت $mt^2 = N$ و $m, t \gg 1$ به دست آمد:

$$ECR(N, m, t) \geq \int_0^1 \frac{1-e^{-x}}{x} dx \approx 0.796599.$$

فرض کنید $t \approx r$ ماتریس هلمن با استفاده از توابع احیاً مستقل از هم ساخته شده باشند. حتی فرض کنید تعداد نقاط تکراری در یک ماتریس هلمن بسیار کم باشد؛ یعنی $ECR(N, m, t) \approx 1$. در این صورت، با در نظر گرفتن شرط توقف ماتریس $mt^2 = N$ و با استفاده از معادله (2)، احتمال موفقیت مصالحه هلمن بیشینه $0.632 \approx 1 - e^{-1}$ خواهد بود، که احتمال موفقیت خوبی نیست.

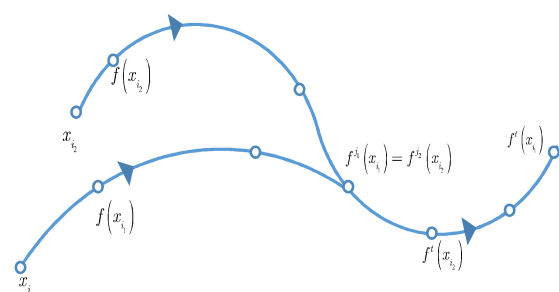
ما در شکل (3) با استفاده از معادله (3) و شرط توقف ماتریس $mt^2 = N$ ، منحنی کران پایین داده شده توسط هلمن را با استفاده از نرم‌افزار متلب³ رسم کردیم. منحنی آبی رنگ در این شکل، کران را بر حسب لگاریتم طول زنجیره (یعنی (t)) برای حالت $N = 2^{16}$ نمایش می‌دهد. هر چند در مورد اعتبار این کران شکی وجود ندارد، اما در ادامه نشان خواهیم داد که اختلاف به نسبه زیادی با داده‌های تجربی وجود دارد. در حقیقت، طبق شرط توقف ماتریس، برای t ‌ها بزرگ و نزدیک به \sqrt{N} ، m عددی متناهی خواهد بود؛ لذا شرط $m \gg 1$ در کران به دست آمده توسط هلمن برآورده نمی‌شود و بنابراین نمی‌توان از این کران استفاده کرد.

وضعیت زمانی اتفاق می‌افتد که برای $0 \leq j_1 < j_2 \leq t$ در سطر i ام ماتریس هلمن داشته باشیم $f^{j_1}(x_i) = f^{j_2}(x_i)$ (شکل (1) را ببینید).



(شکل-۱): دور در یک زنجیره هلمن
(Figure-1): Loop in a Hellman chain

دوم این‌که، ممکن است دو یا چند زنجیره هلمن با یکدیگر ادغام شوند. در این حالت برای دو نقطه شروع متمایز مثل x_{i_1} و x_{i_2} و دو مقدار صحیح j_1 و j_2 خواهیم داشت $f^{j_1}(x_{i_1}) = f^{j_2}(x_{i_2})$. یعنی در این مکان بروخورد بین دو زنجیره اتفاق می‌افتد و لذا در ادامه نیز هر دو زنجیره با یکدیگر ادغام می‌شوند (شکل (2) را ببینید).



(شکل-۲): ادغام دو زنجیره هلمن
(Figure-2): Merge of two Hellman chain

لذا پیشنهاد شده است که علاوه بر کاهش تعداد سطرهای یک ماتریس هلمن، r ماتریس هلمن با استفاده از توابع مركب $f_i = R_i \circ f$ ، برای $1 \leq i \leq r$ ، ایجاد شوند. در حقیقت، هر $R_i : X \rightarrow X$ یک تابع دوسویی ساده (از دیدگاه محاسباتی) است، که آن را یک تابع احیا¹ می‌نامند. به عنوان مثال، این تابع ساده می‌تواند یک تابع جایگشت و یا جمع به پیمانه N با یک مقدار ثابت باشد. برای اطلاعات بیشتر در این زمینه مراجع [8] را ببینید. هنگامی که با استفاده از r تابع احیای مستقل، r ماتریس هلمن $m \times (t+1)$ را مورد استفاده قرار داده باشیم، احتمال موفقیت² مصالحه هلمن به شکل زیر محاسبه می‌شود [8]:

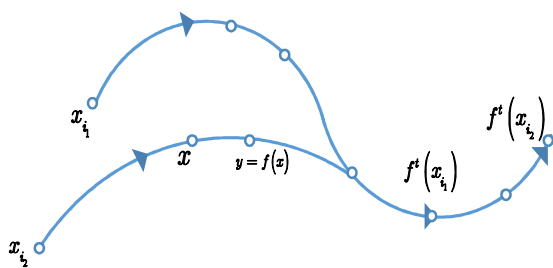
³ MATLAB

¹ Reduction function

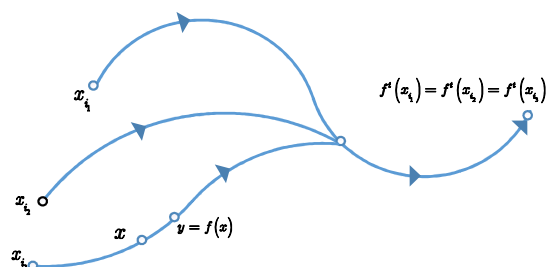
² Success probability

نظری و تجربی (به خصوص در حالت $t = \sqrt{2^{16}} = 2^8$ یا $m = 1$) مشهود است. از طرف دیگر منحنی تجربی نشان می‌دهد که امید ریاضی نرخ پوشش، صعودی است و برای t ‌های بزرگ و نزدیک به \sqrt{N} افزایش می‌یابد. البته ما این موارد را به صورت دقیق‌تر در لم ۳-۱ و نتیجه ۳-۲ بخش سوم نشان خواهیم داد.

یکی از مشکلات بزرگی که در مرحله برخط و به علت دور و ادغام در زنجیره‌های هلمن گریبان‌گیر ما خواهد شد، پدیده هشدار خطأ است. برای نمونه شکل‌های (۴) و (۵) را ببینید. در شکل (۴) نقاط انتهایی هر دو زنجیره، یعنی نقطه انتهایی $f(x_i)$ در قسمت ادغام دو زنجیره قرار دارند. در این صورت، اگر در مرحله برخط تصویر y روی زنجیره دوم داده شده باشد، با شروع ساخت زنجیره برخط از y ، ابتدا به نقطه انتهایی $f'(x_i)$ بخورد می‌کیم و لذا به اشتباہ نتیجه خواهیم گرفت که پیش‌تصویر y روی زنجیره نخست قرار دارد. بنابراین با شروع از نقطه x_i نمی‌توانیم به پیش‌تصویر مورد نظر برسیم. حالت دیگر هشدار خطأ در شکل (۵) نمایش داده شده است. همان‌طور که می‌بینید، ممکن است، متناظر با چند نقطه شروع فقط یک نقطه انتهایی داشته باشیم. در این وضعیت باید در مرحله برخط، چندین زنجیره با استفاده از این نقاط شروع تشکیل دهیم.



(شکل-۴): پدیده هشدار خطأ
(Figure-4): False alarm situation



(شکل-۵): پدیده هشدار خطأ
(Figure-5): False alarm situation

^۱ False alarm

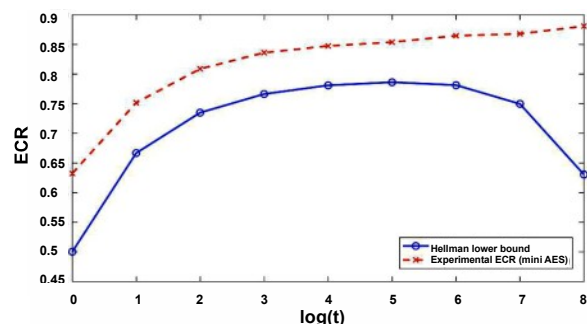
در این مقاله، برای تولید داده‌های تجربی از الگوریتم mini AES [13] استفاده شده است. اهداف ما برای استفاده از این الگوریتم، کوچک‌بودن فضای کلید نسبت به الگوریتم AES و استانداردی‌بودن آن است. فرض کنید $p_0 \in \{0,1\}^{16}$ رمز AES و استانداردی‌بودن آن است. تابع $f : \{0,1\}^{16} \rightarrow \{0,1\}^{16}$ تابع تصادفی و ثابت باشد.

را به صورت:

$$f(k) = \text{mini AES}(p_0, k)$$

تعریف می‌کنیم. این تابع همه خواص یک تابع تصادفی را دارد. برای دیدن برخی از این خواص مراجع [4] را ببینید.

در ادامه نقطه شروع تصادفی را برای مقادیر مختلف t ، که $0 \leq \log_2(t) \leq 8$ ، تعداد $m = 2^{16} / t^2$ انتخاب کردہ‌ایم؛ سپس برای هر یک از این مقادیر یک ماتریس هلمن H با استفاده تابع تصادفی f و نرم‌افزار متلب ایجاد کردہ‌ایم. در نهایت، به صراحت نرخ پوشش h_{t-1} / mt را محاسبه کرده‌ایم. اگر این کار را، برای مقادیر مختلف t ، به تعداد سیار زیاد انجام دهیم و میانگین مقادیر به دست آمده را رسم کنیم، منحنی قرمزرنگ در شکل (۳) به دست می‌آید. این نمودار میانگین نرخ پوشش آزمایش‌های تجربی ما را بر حسب لگاریتم طول زنجیره، یعنی $\log(t)$ ، نشان می‌دهد.



(شکل-۳): منحنی کران پایین داده شده توسط هلمن در معادله (۳) بر حسب $\log_2(t)$ برای $N = 2^{16}$ و $m = N / t^2$ (منحنی با علامت دایره)؛ منحنی تجربی میانگین نرخ پوشش ماتریس‌های هلمن ساخته شده توسط الگوریتم mini AES بر حسب $\log_2(t)$ (منحنی خط‌چین با علامت ضرب).

(Figure-3): Given lower bound by Hellman in Equation (3) in logarithmic scale for $N = 2^{16}$ and $m = N / t^2$ (curve with circle markers); Experimental average of coverage rate of Hellman matrices constructed by mini AES algorithm in logarithmic scale (curve with cross markers).

همان‌طور که در شکل (۳) مشاهده می‌کنید، منحنی کران ارائه شده توسط هلمن پایین‌تر از منحنی تجربی قرار گرفته و واقعاً یک کران پایین است؛ ولی شکاف بین منحنی

۳- امید ریاضی نرخ پوشش در حالت

$m=1$

هدف ما در این بخش محاسبه دقیق امید ریاضی نرخ پوشش برای ماتریس‌های هلمن تشکیل شده از یک زنجیره به طول t است. برای این کار به Lm و نتیجه‌های که در ادامه می‌آیند نیازمندیم. قابل ذکر است که Lm و نتیجه زیر، در مراجع بسیاری از جمله [4, 5, 6] نیز به شکل متفاوتی بررسی شده‌اند.

۳-۱. فرض کنید $X \rightarrow f$: یک تابع تصادفی روی

فضای جستجوی X از اندازه N باشد و H ماتریس هلمن

$(t+1) \times 1$ باشد که با شروع از یک نقطه تصادفی در X ایجاد شده است. همچنین فرض کنید $t = \alpha\sqrt{N}$ برای یک

$\alpha \geq 0$. در این صورت، امید ریاضی نرخ پوشش H وقتی که

$N \rightarrow \infty$ به طور تقریبی برابر است با:

$$ECR(N, 1, t) \approx \frac{\sqrt{2\pi}}{\alpha} \int_0^{\alpha} \varphi(z) dz, \quad (4)$$

که در آن $\varphi(z) = \frac{1}{\sqrt{2\pi}} e^{-z^2/2}$ تابع چگالی احتمال توزیع نرمال استاندارد است.

اثبات. فرض کنید ρ پیشامد تعداد اعضای زنجیره بدون تکرار با شروع از یک نقطه تصادفی در X باشد؛ بنابراین برای $t = \alpha\sqrt{N}$ داریم:

$$ECR(N, 1, t) = \frac{1}{t} \mathbb{E}(h_t) = \frac{1}{t} \left(\sum_{k=0}^t \Pr[\rho \geq k] \right).$$

حال با استفاده از Lm ۳-۱ به دست می‌آوریم:

$$ECR(N, 1, t) \approx \frac{1}{t} \sum_{k=0}^t e^{-\frac{k^2}{2N}}.$$

درنتیجه هنگامی که $N \rightarrow \infty$ داریم:

$$\begin{aligned} ECR(N, 1, t) &\sim \int_0^1 e^{-\frac{x^2}{2N}} dx \\ &= \sqrt{2\pi} \frac{\sqrt{N}}{t} \int_0^{\frac{t}{\sqrt{N}}} \varphi(z) dz \\ &= \sqrt{2\pi} \frac{1}{\alpha} \int_0^{\alpha} \varphi(z) dz \end{aligned}$$

که در آن $\varphi(z) = \frac{1}{\sqrt{2\pi}} e^{-z^2/2}$ تابع چگالی احتمال توزیع نرمال استاندارد است.

نتیجه ۳-۴. امید ریاضی نرخ پوشش برای ماتریس هلمن تشکیل شده از یک زنجیره (به همراه شرط توقف ماتریس $mt^2 = N$ ، برابر با 85° است).

اثبات. توجه کنید که در حالت $m=1$ با استفاده از شرط توقف ماتریس، $t = \sqrt{N}$ است و لذا $\alpha=1$ خواهد بود؛ بنابراین با استفاده از قضیه ۳-۳ داریم:

$$\lim_{t \rightarrow \infty} ECR(N, 1, t) \approx \sqrt{2\pi} \cdot 0.3413 = 0.85.$$

همان‌گونه که در این نتیجه دیدیم، یک ماتریس هلمن با پارامترهای $m=1$ و $t = \sqrt{N}$ دارای امید ریاضی نرخ پوشش بسیار خوبی است؛ اما مشکل اصلی این‌گونه ماتریس‌ها، صرف

هدف ما در این بخش محاسبه دقیق امید ریاضی نرخ پوشش

برای ماتریس‌های هلمن تشکیل شده از یک زنجیره به طول t است.

برای این کار به Lm و نتیجه‌های که در ادامه می‌آیند

نیازمندیم. بقابل ذکر است که Lm و نتیجه زیر، در مراجع

بسیاری از جمله [4, 5, 6] نیز به شکل متفاوتی بررسی شده‌اند.

۳-۲. فرض کنید $X \rightarrow f$: یک تابع تصادفی روی

فضای جستجوی X از اندازه N باشد و

$$\rho = \left| \{f^j(x) : j = 0, 1, 2, \dots\} \right|$$

پیشامد تعداد اعضای زنجیره بدون تکرار با شروع از نقطه تصادفی $x \in X$ باشد. در این صورت هنگامی که N به

$$\text{بینهایت میل می‌کند} \Pr[\rho \geq t] \approx e^{-\frac{t^2}{2N}}$$

اثبات. توجه کنید که فرآیند ساختن یک زنجیره با استفاده

از نقطه شروع تصادفی x را می‌توان به شکل برداشتن مهره

از یک گلدان شامل N مهره شماره‌گذاری شده و با

جای‌گذاری مدل کرد. بنابراین:

$$\Pr[\rho \geq t] = \frac{N}{N} \frac{N-1}{N} \frac{N-2}{N} \dots \frac{N-t+1}{N}.$$

می‌دانیم هنگامی که $N \ll i$ داریم $\approx e^{-i/N}$. پس:

$$\Pr[\rho \geq t] \approx \prod_{i=0}^{t-1} e^{-i/N} \approx e^{-t^2/2N}$$

نتیجه ۳-۲. فرض کنید $X \rightarrow f$: تابعی تصادفی روی

فضای جستجو X از اندازه N باشد و ρ پیشامد تعداد اعضای

زنگیره بدون تکرار با شروع از یک نقطه تصادفی در X باشد.

در این صورت هنگامی که $N \rightarrow \infty$ داریم:

$$\mathbb{E}[\rho] \approx \sqrt{\frac{\pi N}{2}}.$$

اثبات. هنگامی که $N \rightarrow \infty$ داریم:

$$\begin{aligned} \mathbb{E}[\rho] &= \sum_{t=0}^N \Pr[\rho \geq t] \approx \sum_{t=0}^N e^{-t^2/2N} \approx N \int_0^1 e^{-\frac{x^2}{2}} dx \\ &= \sqrt{\frac{\pi N}{2}}. \end{aligned}$$

حال آماده‌ایم که با استفاده از نتایج به دست آمده، امید ریاضی

نرخ پوشش برای ماتریس‌های هلمن تشکیل شده از یک

زنگیره را (بدون شرط توقف ماتریس) به دست آوریم.

فصل سیمی



شمارش کرده و با استفاده از نقش تابع f در ستون بعد، امید ریاضی نرخ پوشش (بدون شرط توقف ماتریس) را به دست آوریم (بخش ضمیمه مرجع [14] را ببینید).

حدس ۴-۳ فرض کنید $X \rightarrow f$ یک تابع تصادفی روی فضای جستجو از اندازه ثابت N باشد؛ همچنین فرض کنید که H ماتریس هلمن $(t+1) \times m$ باشد که با استفاده از نقطه تصادفی در X ایجاد شده است؛ در این صورت امید ریاضی نرخ پوشش H به طور تقریبی برابر است با:

$$ECR(N, m, t) \approx \frac{N}{mt} s_t \quad (5)$$

که در آن برای $\alpha = \sqrt{\frac{m}{2N}}$ داریم:

$$s_t \approx 2\alpha(1 - \alpha^2) \frac{\tanh(\alpha k)}{1 + \alpha \tanh(\alpha k)}. \quad (6)$$

طرح اثبات. توجه نمایید که:

$\mathbb{E}(h_{t-1}) = \mathbb{E}(|H_{t-1}|) = m_0 + m_1 + \dots + m_{t-1}$ که در آن $m_j = \mathbb{E}(|H_j \setminus H_{j-1}|)$ و $m_0 = \mathbb{E}(|H_0|)$ تعداد اعضای متمایز ستون $j+1$ است که در ستون‌های j و ما قبل آن موجود نیستند.

با به کاربردن لم ۴-۱ برای ستون نخست ماتریس هلمن، امید ریاضی تعداد نقاط متمایز در ستون نخست برابر است با:

$$m_0 = \mathbb{E}(|H_0|) = N(1 - e^{-m/N}).$$

توجه کنید که اگر $x_i \in H_0$ برای چند i یکسان باشند، آن‌گاه $f(x_i) \in H_1$ ها نیز یکسان خواهند بود و بنابراین تنها درآیه‌هایی مثل x_i متعلق به ستون نخست ماتریس هلمن که متعلق به مجموعه H_0 هستند، می‌توانند درآیه‌های جدیدی در ستون دوم ایجاد کنند (اینجا است که نقش تابع بودن f تأثیر دارد). حال فرض کنید که در ستون نخست m_0 عضو متمایز و ثابت وجود دارد (توجه کنید که این کار از نظر احتمالاتی دقیق نیست. تیصره ۴-۴ را ببینید). نقش تصادفی تابع f در ایجاد ستون دوم ایجاب می‌کند که به آن مثل برداشتن m_0 توب از یک گلدان شامل N توب برچسبدار و متمایز با جایگذاری نگاه کنیم. بنابراین لم ۴-۱ می‌گوید، انتظار داریم $N(1 - e^{-m_0/N})$ درآیه متمایز در ستون دوم داشته باشیم. پس تعداد درآیه‌های متمایز در ستون دوم که در ستون نخست نیز نباشند، برابر است با:

زمان بسیار زیاد (از مرتبه \sqrt{N}) در مرحله برخط است، که باعث می‌شود، کاربرد عملی چندانی نداشته باشند. در بخش ۵ سعی می‌کنیم این مشکل را مرتفع کرده و علاوه بر عدم تغییر نرخ پوشش، زمان برخط را کاهش دهیم. از طرف دیگر، اگر نرخ به دست آمده را در این نتیجه با شکل (۳) در حالت $\log(t) = 8$ مقایسه کنید، اختلاف با کران پایین به دست آمده توسط هلمن و مطابقت آن با نتایج تجربی مشخص خواهد شد. در حقیقت، در حالتی $m = 1$ نمی‌توانیم از فرمول هلمن برای امید ریاضی نرخ پوشش استفاده کنیم؛ لذا، ما در بخش ۴ به بررسی دقیق‌تر امید ریاضی نرخ پوشش یک ماتریس هلمن خواهیم پرداخت.

۴- محاسبه امید ریاضی نرخ پوشش یک ماتریس هلمن

هدف ما در این بخش، محاسبه دقیق‌تر امید ریاضی نرخ پوشش برای یک ماتریس هلمن خواهد بود. برای این کار، ابتدا به لم زیر نیازمندیم که اثبات آن را در کتاب‌های استاندارد نظریه احتمال می‌توان یافته.

لم ۴-۱. فرض کنید گلدانی شامل N توب که به طور مجزا شماره‌گذاری شده‌اند، داشته باشیم؛ همچنین فرض کنید که m توب را یکی‌یکی و با جای‌گذاری از گلدان برمی‌داریم؛ در این صورت انتظار داریم که $N(1 - (1 - \frac{1}{N})^m)$ توب متمایز ببینیم؛ این امید ریاضی وقتی $N \rightarrow \infty$ به طور تقریبی برابر با $N(1 - e^{-m/N})$ است.

امید ریاضی پوشش یک تابع تصادفی f به شکل امید ریاضی تعداد نقاط موجود در برد تابع یا $\mathbb{E}(|f(X)|)$ تعریف می‌شود. توجه کنید که، با قراردادن $m = N$ در لم ۴-۱ می‌توان امید ریاضی پوشش یک تابع تصادفی را به سادگی بدست آورد. برای دیدن اثبات‌های دیگر از نتیجه زیر، قضیه دو در مرجع [4] را ببینید.

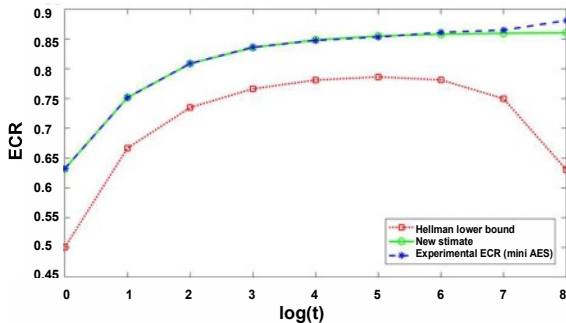
نتیجه ۴-۲. امید ریاضی پوشش یک تابع تصادفی $f: X \rightarrow X$ به طور تقریبی برابر است با:

$$\mathbb{E}(|f(X)|) \sim N(1 - e^{-1}).$$

در مدل [7] برای محاسبه امید ریاضی نرخ پوشش، فقط از فرض تصادفی بودن تابع f استفاده شده و شرط تابع بودن f در نظر گرفته نشده است. در ادامه قصد داریم با استفاده از لم ۴-۱ تعداد عناصر متمایز در هر ستون را به ترتیب

تبصره ۴-۴. توجه کنید که در طرح اثبات حدس ۴-۳ فرض کردیم که تعداد نقاط متمایز در ستون نخست، برابر با امید ریاضی تعداد نقاط متمایز در این ستون است؛ سپس به همین تعداد نقطه از گلدان شامل N توب برچسب دار و متمایز با جایگذاری انتخاب کردیم. این فرض برای ستون های بعد نیز در نظر گرفته شده است. هر چند ممکن است، این تقریب از نقطه نظر احتمالاتی دقیق نباشد؛ اما منحنی های تجربی در ادامه این بخش نشان خواهند داد که این تقریب با منحنی تجربی به دست آمده توسط الگوریتم mini AES مطابقت بسیار خوبی دارد؛ لذا تقریب دقیق تر از امید ریاضی نرخ پوشش یک ماتریس هلمن، همچنان می تواند به عنوان یک مسئله باز پژوهشی مطرح باشد.

منحنی خط چین (با علامت ستاره) در شکل (۶)، امید ریاضی نرخ پوشش به دست آمده در حدس ۴-۳ را با فرض $mt^2 = N = 2^{16}$ ، nm^2 ، $mt = N$ مشاهده می کنید، منحنی خط چین، بسیار نزدیک به منحنی تجربی به دست آمده توسط الگوریتم mini AES (منحنی با علامت دایره) است. بنابراین تخمین ارائه شده در حدس ۴-۳ بسیار دقیق تر از تخمین ارائه شده توسط هلمن (منحنی نقطه چین با علامت مربع) است.



(شکل-۶): منحنی امید ریاضی نرخ پوشش ارائه شده در حدس ۴-۳ بر حسب $\log_2(t)$ برای $N = 2^{16}$ (منحنی خط چین با علامت ستاره)؛ منحنی نرخ پوشش تجربی با استفاده از الگوریتم mini AES (منحنی با علامت دایره)؛ کران پایین ارائه شده توسط هلمن (منحنی نقطه چین با علامت مربع).

(Figure-6): Expected coverage rate given in Conjecture 4-3 in logarithmic scale for $N = 2^{16}$ (dashed curve with star markers); Experimental coverage rate obtained by using mini AES algorithm (curve with circle markers); Hellman lower coverage (dotted curve with square markers).

نکته قابل توجه در شکل (۶) این است که، منحنی امید ریاضی نرخ پوشش ارائه شده در حدس ۴-۳ در نقطه $t = \sqrt{N}$ نادریق است. در حقیقت، همان طور که در این شکل می بینید، منحنی تجربی (با علامت دایره) در این نقطه بالاتر

$$m_i = \mathbb{E}(|H_i \setminus H_0|) = \left(1 - \frac{m_0}{N}\right) N \left(1 - e^{-\frac{m_0}{N}}\right).$$

به همین شکل، اگر $f^{j-1}(x_i) \in H_{j-1}$ آن گاه $f^j(x_i) \in H_j$ متعلق به ستون $(j+1)$ ام ماتریس هلمن، که متعلق به مجموعه $H_j \setminus H_{j-1}$ هستند، می توانند درایه های جدیدی در درایه $N \left(1 - e^{-\frac{m_j}{N}}\right)$ ایجاد کنند. بنابراین انتظار داریم متمایز در ستون $j+2$ داشته باشیم؛ به طوری که در ستون های ماقبل عضویت ندارند. مثل قبل فرض کنید که در ستون های $H_j \setminus H_{j-1}$ به عدد m_j متمایز و ثابت داریم. درنتیجه:

$$m_{j+1} = \mathbb{E}(|H_{j+1} \setminus H_j|) = \left(1 - \sum_{i=0}^k \frac{m_i}{N}\right) N \left(1 - e^{-\frac{m_j}{N}}\right),$$

حال با استفاده از نمادگذاری $s_j = \sum_{i=0}^{j-1} \frac{m_i}{N}$ به دست می آوریم:

$$1 - s_{k+1} = (1 - s_k) e^{-s_k}, \quad (k \geq 1).$$

فرض کنید $e^{-m/N} c = e^{-m/N}$. در این صورت با استفاده از شرط اولیه $s_1 = \frac{m_0}{N} = 1 - c$ خواهیم داشت:

$$s_0 = 0, \quad s_{k+1} = 1 - ce^{-s_k}.$$

سرانجام با استفاده از معادله (۱) امید ریاضی نرخ پوشش برای یک ماتریس هلمن به شکل زیر است:

$$ECR(N, m, t) = \frac{1}{mt} \mathbb{E}(h_{t-1}) = \frac{m_0 + \dots + m_{t-1}}{mt} = \frac{\frac{N}{mt} s_t}{mt},$$

برای هر $t \geq 1$.

در انتهای، برای به دست آوردن یک شکل بسته برای فرمول بازگشتی، داریم:

$$\frac{ds_k}{dk} \approx s_{k+1} - s_k = (1 - s_k) - e^{-(s_k + \frac{m}{N})}$$

لذا با استفاده از تقریب بسط تیلورتابع نمایی $e^x \approx 1 + x + \frac{1}{2}x^2$ معادله دیفرانسیل زیر به دست می آید:

$$\frac{ds_k}{dk} \sim \frac{m}{N} - \frac{1}{2} \left(s_k + \frac{m}{N} \right)^2, \quad s_0 = 0.$$

با حل این معادله دیفرانسیل داریم:

$$k \approx \alpha^{-1} \left(\tanh^{-1} \left(\frac{1}{2} \alpha^{-1} s_k + \alpha \right) - \tanh^{-1}(\alpha) \right).$$

که در آن $\sqrt{\frac{m}{2N}} = \alpha$. با حل معادله بالا، معادله (۶) به سادگی به دست می آید.



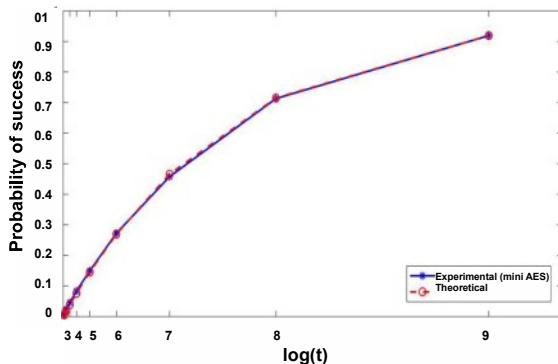
با استفاده از معادله (۲)، احتمال موفقیت روش ما برای r ماتریس به طور تقریبی برابر است با:

$$1 - e^{-r\sqrt{\frac{\pi}{2N}}} \quad (7)$$

منحنی این فرمول بر حسب $\log_2(r)$ برای $N = 2^{16}$

در شکل (۷) با منحنی خط‌چین (با علامت دایره) رسم شده است.

برای مقایسه این منحنی با داده‌های تجربی، مشابه با قبیل، از الگوریتم mini AES استفاده می‌کنیم. برای این کار تعداد r ، $0 \leq \log(r) \leq 9$ ، ماتریس به روش جدید، با استفاده از توابع $f_i(x) = f(x \oplus i)$ ، که در آن \oplus تابع XOR است، تشکیل می‌دهیم؛ سپس تعداد نقاط متمايز در کل جداول را به صراحت محاسبه می‌کنیم. با تقسیم عدد به دست آمده بر 2^9 موفقیت این r ماتریس هلمن به دقت به دست می‌آید. اگر این کار را به دفعات زیاد انجام داده و میانگین بگیریم، منحنی با علامت ستاره در شکل (۷) حاصل می‌شود. همان‌طور که در این شکل دیده می‌شود، منحنی‌های نظری و تجربی مطابقت بسیار خوبی با یکدیگر دارند.



(شکل-۷): منحنی امید ریاضی نرخ پوشش r ماتریس به روش پیشنهادی بر حسب $\log_2(r)$ به صورت نظری (منحنی با علامت دایره) در مقایسه با منحنی نرخ پوشش r ماتریس به روش پیشنهادی با استفاده از الگوریتم mini AES (منحنی خط‌چین با علامت ستاره).

(Figure-7): Theoretical expected coverage rate of r matrix with presented method in logarithmic scale (curve with circle markers); Experimental coverage rate of r matrix with presented method in logarithmic scale using mini AES algorithm (dashed curve with star markers).

یکی از مشکلاتی که باعث می‌شود r ماتریس تشکیل شده به روش پیشنهادی از نظر عملی ناکارآمد باشند، این است که در مرحله برخط باید زمان بسیار زیادی، از مرتبه $rt \approx r\sqrt{\pi N}/2$ را صرف کنیم تا به پیش‌تصویر مورد نظر بررسیم. برای این‌که این مشکل را تا حدی جبران کنیم، به ازای

از منحنی خط‌چین (با علامت ستاره) قرار گرفته است. البته این موضوع دور از انتظار ما نیست؛ زیرا روش به دست آوردن امید ریاضی نرخ پوشش در طرح اثبات حدس ۴-۳ به گونه‌ای است که برای ماتریس‌های هلمن تشکیل شده از یک زنجیره ($m=1$) نادقیق است. توجه کنید که، ما این حالت را در قبل در بخش سوم بررسی کردی‌ایم.

۵- روشی جدید برای تولید ماتریس هلمن

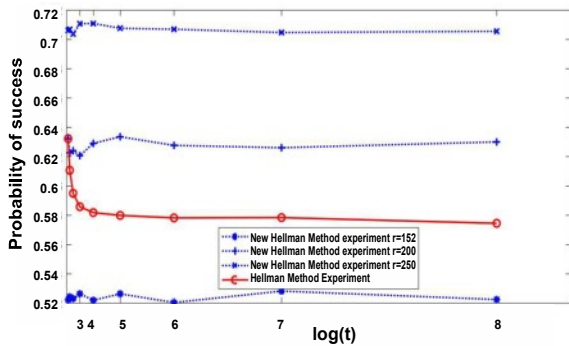
همان‌طور که در بخش چهارم مشاهده کردی‌ایم، امید ریاضی نرخ پوشش یک ماتریس هلمن، با شرط توقف ماتریس، یک تابع صعودی بر اساس t است. بنابراین در حالت $m=1$ و $t = \sqrt{N}$ بیشترین امید ریاضی نرخ پوشش را خواهیم داشت. در بخش سوم، این امید ریاضی را به دقت محاسبه کردی‌ایم و مقدار 0.85 را به دست آورده‌یم؛ اما گفتیم مهم‌ترین مشکلی که باعث می‌شود، این حالت از نظر عملی ناکارآمد باشد، مدت زمانی (از مرتبه \sqrt{N}) است که در مرحله برخط باید صرف شود تا به پیش‌تصویر نقطه داده شده بررسیم. در این بخش روشی جدید برای تولید یک ماتریس هلمن پیشنهاد می‌کنیم که دارای بیشترین امید ریاضی نرخ پوشش است. در حقیقت، فرآیند زیر را دنبال خواهیم کرد.

فرض کنید تابع تصادفی f داده شده باشد، هدف ما در این بخش ساختن r ماتریس است که در هر یک از آنها از توابع احیای متمايز و مستقل استفاده شده است. در هر ماتریس تنها یک زنجیره به طول غیر ثابت داریم. در حقیقت، این زنجیره از یک نقطه تصادفی شروع و تا قبل از رسیدن به نخستین تکرار ادامه می‌یابد. توجه کنید که در این روش، زمان مورد استفاده برای مرحله پیش‌محاسبه افزایش می‌یابد؛ زیرا در طی ساخت یک زنجیره، باید بتوانیم دور را تشخیص داده و قبل از رسیدن به نخستین تکرار، ساخت زنجیره را پایان دهیم. یکی از مزایای این روش این است که نرخ پوشش هر یک از این ماتریس‌ها به طور دقیق برابر با یک خواهد بود؛ یعنی هیچ نقطه تکراری در این گونه ماتریس‌ها وجود ندارد. از طرف دیگر، در مرحله برخط، پدیده هشدار خط‌نیز رخ نخواهد داد؛ زیرا به‌وضوح ادغام در این گونه ماتریس‌ها رخ نمی‌دهد.

همان‌طور که در لم ۳-۱ و نتیجه آن مشاهده کردی‌ایم، امید ریاضی تعداد اعضای یک زنجیره تصادفی برابر با \sqrt{N} است. حال، چون $m=1$ و $t \sim \sqrt{N}$ است،

(۱) حافظه نسبت به روش هلمن تغییری نکرده است؛ اما زمان برخط افزایش یافته است. در سطر سوم نیز زمان برخط ثابت مانده است؛ اما حافظه افزایش یافته است.

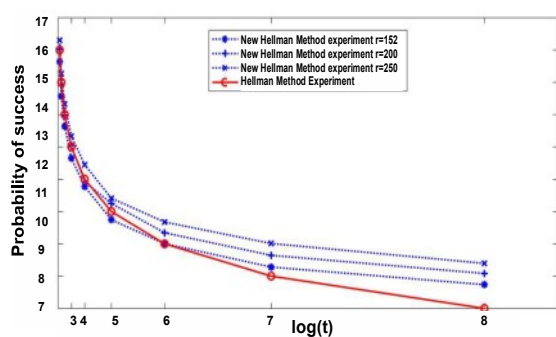
مثال. برای مقایسه تحریبی احتمال موفقیت، حافظه و زمان برخط روش هلمن با روش ارائه شده در این بخش، مشابه با قبل، از الگوریتم mini AES استفاده می‌کنیم. ابتدا با استفاده از روش هلمن و شرط توقف ماتریس $mt^2 = N$ و $mt^2 = r$ ، $t=r$ ، جداول هلمن بسیاری تولید می‌کنیم؛ همچنین شرط احتمال موفقیت، حافظه و زمان برخط آها را به دقت بر حسب $\log(t)$ رسم کردہ‌ایم. درنهایت، چنین نمودارهایی را نیز برای روش ارائه شده و با تعداد جداول متفاوت $r=128, 200, 256$ رسم کردہ‌ایم. نتایج در شکل‌های (۸، ۹) ارائه شده‌اند.



(شکل-۸): منحنی تحریبی احتمال موفقیت $r=t$ ماتریس هلمن با شرط توقف ماتریس $N = mt^2$ (منحنی با علامت دایره) و منحنی‌های احتمال موفقیت روش ارائه شده به ازای $r = 150$ (منحنی نقطه‌چین با علامت ستاره)، $r = 200$ (منحنی نقطه‌چین با علامت ضرب‌در) با علامت مربع و $r = 250$ (منحنی نقطه‌چین با علامت ضرب‌در) با علامت مربع) و $r = t$ (منحنی نقطه‌چین با علامت ضرب‌در) بر حسب $\log(t)$.

(Figure-8): Experimental probability of success of $r = t$ Hellman matrix with matrix stopping rule condition

$N = mt^2$ (curve with circle markers); Experimental probability of success of r table with presented method for $r = 150$ (dotted curve with circle markers), $r = 200$ (dotted curve with square markers) and $r = 250$ (dotted curve with cross markers) in logarithmic scale.



(شکل-۹): منحنی تحریبی واحد حافظه مورد نیاز برای ذخیره ماتریس هلمن با شرط توقف ماتریس $N = mt^2$ (منحنی $r = t$)

یک t' مناسب (بر حسب زمان مورد نیاز کاربر در مرحله برخط و حافظه در دسترس او)، زنجیره هر یک ماتریس‌ها را به‌شكل زیر به زیرزنجیره‌هایی با طول t' تقسیم می‌کنیم:

$$\begin{aligned} x_{1,0} &\rightarrow x_{1,1} \rightarrow x_{1,2} \rightarrow \cdots \rightarrow x_{1,t'} \rightarrow \\ &\rightarrow x_{2,0} \rightarrow x_{2,1} \rightarrow x_{2,2} \rightarrow \cdots \rightarrow x_{2,t'} \rightarrow \\ &\vdots \\ &\rightarrow x_{m',0} \rightarrow x_{m',1} \rightarrow x_{m',2} \rightarrow \cdots \rightarrow x_{m',t'} \end{aligned}$$

که در آن $m't' \sim \sqrt{\pi N/2}$. همچنین در این ماتریس $0 \leq i \leq m'$ برای $f(x_{i,j}) = x_{i,j+1}$ و $1 \leq i \leq m'$ برای $f(x_{i,t'}) = x_{i+1,0}$.

توجه کنید که با این کار نرخ پوشش و درنتیجه احتمال موفقیت تفاوتی با قبل نخواهد داشت؛ ولی حافظه مورد نیاز افزایش می‌یابد. در حقیقت، زمان برخط از مرتبه $t'r$ و حافظه مورد نیاز از مرتبه $m'r$ است.

مثال. فرض کنید $m' = N^\gamma$, $t' = N^\alpha$ و $r = N^\beta$. در این صورت، چون $m't' \approx \rho \approx \sqrt{N}$ درنتیجه، زمان برخط از مرتبه $t'r \approx N^{\alpha+\gamma}$ و حافظه از مرتبه $m'r \approx N^{\beta+\gamma}$ است. از طرفی با استفاده از معادله (۷)، احتمال موفقیت به‌طور تقریبی برابر است با:

$$1 - \exp\left(-\left(N^{\gamma-\frac{1}{2}}\right)\sqrt{\frac{\pi}{2}}\right).$$

در جدول (۱)، مرتبه زمان برخط، حافظه و احتمال موفقیت برای چند نمونه محاسبه شده است. همان‌طور که می‌دانیم با استفاده از روش هلمن، در بهترین حالت، که $tr \approx N^{2/3}$ ، زمان برخط از مرتبه $m \approx t \approx r \approx N^{1/3}$ و حافظه از مرتبه $mr \approx N^{2/3}$ است. همچنین بیشینه احتمال موفقیت $1 - e^{-1} \approx 0.632$ است.

(جدول-۱): چند نمونه از پارامترها برای روش پیشنهادی

(Table-1): some parameters for presented method

α	β	γ	زمان برخط	حافظه	احتمال موفقیت
$\frac{1}{4}$	$\frac{1}{4}$	$\frac{1}{2}$	$N^{3/4}$	$N^{3/4}$	0.714
$\frac{1}{3}$	$\frac{1}{6}$	$\frac{1}{2}$	$N^{5/6}$	$N^{2/3}$	0.714
$\frac{1}{6}$	$\frac{1}{3}$	$\frac{1}{2}$	$N^{2/3}$	$N^{5/6}$	0.714

با توجه به نتایج جدول (۱) مشاهده می‌شود که اگر چه احتمال موفقیت در مقایسه با روش هلمن افزایش بسیار خوبی داشته است؛ اما نمی‌توانیم به‌طور همزمان، هم زمان برخط و هم حافظه را کاهش دهیم. به عنوان نمونه، در سطر دوم جدول

اصلی داده شده توسط خود ارائه داده است. تحلیل‌های سایر پژوهش‌گران برای اندازه‌گیری احتمال موفقیت نیز بر اساس همین کران پایین بوده است. در این مقاله، ابتدا نشان دادیم که یک شکاف بین کران پایین داده شده توسط هلمن و مقادیر تجربی به دست آمده توسط الگوریتم رمز mini AES وجود دارد. این شکاف بین نمودار تجربی و نظری در جایی که هر ماتریس هلمن تنها شامل یک زنجیره است، بیشتر از جاهای دیگر بود؛ لذا به بررسی ماتریس‌های هلمنی پرداختیم که دارای یک سطر هستند. نشان دادیم که امید ریاضی نرخ پوشش این‌گونه ماتریس‌های هلمن (با شرط توقف ماتریس) برابر با $0.85/0$ است. در ادامه امید ریاضی نرخ پوشش برای یک ماتریس هلمن را به طور دقیق‌تری محاسبه کردیم. نتایج به دست آمده با مثال‌های عملی مقایسه شدند و نشان داده شد که فرمول پیشنهادی ما برای امید ریاضی نرخ پوشش، بسیار دقیق‌تر از کران پایین داده شده توسط هلمن است. درنهایت، از آنجایی که احتمال موفقیت در مصالحة حافظه زمان دارای اهمیت بسیاری در کارهای عملی است، روشی برای ساختن ماتریس‌هایی با سطح پوشش بالا ارائه کردیم. در این روش، ماتریس‌ها از یک زنجیره با طول غیرثابت تشکیل شده‌اند. در حقیقت هر زنجیره تا قبل از رسیدن به نخستین تکرار ادامه می‌باید. یکی از ویژگی‌های مهم این‌گونه ماتریس‌ها این است که در مرحله برش خیچ‌گونه هشدار خطای نداریم. در این بخش سعی کردیم علاوه‌بر این که ویژگی‌های خوب این‌گونه ماتریس‌ها (از جمله احتمال موفقیت و کاهش هشدار خط) را حفظ کنیم، مشکل موجود در زمان برش خیچ‌گونه را نیز، با شکستن زنجیره‌ها به زیرزنگرهای، تا حدی جبران کنیم؛ اما نتایج نشان دادند که با این کار واحد حافظه مورد نظر افزایش می‌یابد.

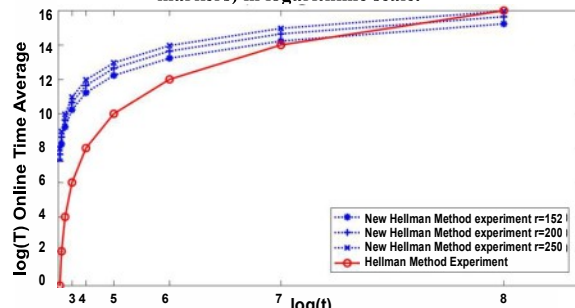
7- References

- [1] E. Barkan, E. Biham and A. Shamir, “Rigorous bounds on cryptanalytic time/memory tradeoffs”, in *Advances in Cryptology: Proceedings of Crypto, LNCS*, 2006, 4117, pp. 1–21.
- [2] J. Borst, “Block Ciphers: Design, Analysis and Side-Channel Analysis”, PhD thesis, Katholieke Universiteit Leuven, 2001.
- [3] D.E. Denning, *Cryptography and data security*, Addison-Wesley, 1982.
- [4] P. Flajolet, and A. Odlyzko, “Random mapping statistics”, *Advances in Cryptology, Proceedings of Eurocrypt'89, LNCS*, 1990, 434, pp. 329–354.

۷- مراجع

با علامت دایره) و منحنی تجربی واحد حافظه مورد نیاز برای ذخیره $r = 150$ (منحنی نقطه‌چین با علامت ستاره)، $r = 200$ (منحنی نقطه‌چین با علامت مربع) و $r = 250$ (منحنی نقطه‌چین با علامت ضربدر) بر حسب $\log(t)$ با روش ارائه شده.

(Figure-9): Experimental memory requirements of $r = t$ Hellman matrix with matrix stopping rule condition $N = mt^2$ (curve with circle markers); Experimental memory requirements of r table with presented method for $r = 150$ (dotted curve with circle markers), $r = 200$ (dotted curve with square markers) and $r = 250$ (dotted curve with cross markers) in logarithmic scale.



(شکل-۱۰): منحنی تجربی زمان برش خیچ‌گونه هلمن با شرط توقف ماتریس $N = mt^2$ (منحنی با علامت دایره) و منحنی تجربی زمان برش خیچ‌گونه هلمن برای $r = 150$ (منحنی نقطه‌چین با علامت ستاره)، $r = 200$ (منحنی نقطه‌چین با علامت مربع) و $r = 250$ (منحنی نقطه‌چین با علامت ضربدر) بر حسب $\log(t)$ با روش ارائه شده.

(Figure-10): Experimental online time of $r = t$ Hellman matrix with matrix stopping rule condition $N = mt^2$ (curve with circle markers); Experimental online time of r table with presented method for $r = 150$ (dotted curve with circle markers), $r = 200$ (dotted curve with square markers) and $r = 250$ (dotted curve with cross markers) in logarithmic scale.

همان‌طور که در این شکل‌ها مشاهده می‌کنید، برای $r = 250$ و $r = 200$ ، احتمال موفقیت بهتر است؛ اما برای $r = 150$ احتمال موفقیت کمتر از احتمال موفقیت روش هلمن است. از طرفی، دیگر در حالاتی که احتمال موفقیت بهبود یافته، یا تعداد واحد حافظه بیشتر شده است و یا زمان برش خیچ‌گونه می‌گیریم، با ثابت‌نگردن زمان برش خیچ‌گونه، اگرچه در روش ارائه شده احتمال موفقیت بیشتری نسبت به روش هلمن داریم و در مرحله برش خیچ‌گونه هشدار خطای بسیار کمتری مواجه خواهیم بود، اما مجبور به استفاده از واحد حافظه بیشتری نسبت به روش هلمن هستیم.

۶- نتیجه‌گیری

مصالحه حافظه زمان یک الگوریتم احتمالاتی برای وارون کردن توابع یک‌طرفه است. هلمن یک کران پایین برای الگوریتم



عبدالرسول میرقداری, در سال ۱۳۶۵ مدرک کارشناسی در رشته آمار ریاضی و در سال ۱۳۶۸ مدرک کارشناسی ارشد خود را در رشته آمار نظری از دانشگاه شیراز و همچنین مدرک دکتراخود را در رشته آمار

ریاضی در سال ۱۳۸۰ از دانشگاه شیراز دریافت کرد. وی اکنون عضو هیات علمی و دانشیار دانشکده مهندسی فناوری اطلاعات و ارتباطات دانشگاه جامع امام حسین (ع) است. زمینه‌های پژوهشی مورد علاقه ایشان فرآیندهای تصادفی، نهان‌نگاری، رمزگاری و تحلیل الگوریتم‌های رمز است.

نشانی رایانمۀ ایشان عبارت است از:

amrghdri@ihu.ac.ir



محمد عبداللهی ازگمی, تحصیلات دانشگاهی خود را در مقاطع کارشناسی، کارشناسی ارشد و دکترا در رشته مهندسی کامپیوتر-نرم‌افزار به ترتیب در سال‌های ۱۳۷۱، ۱۳۷۵ و ۱۳۸۴ در

دانشکده مهندسی کامپیوتر، دانشگاه صنعتی شریف به پایان رسانده است. زمینه‌های پژوهشی مورد علاقه ایشان، مدل‌سازی و ارزیابی سامانه‌های رایانه‌ای و امنیت شبکه است. از ایشان تاکنون مقالات متعددی در مجلات و همایش‌ها به چاپ رسیده است. دکتر عبداللهی ازگمی هم‌اکنون دانشیار گروه نرم‌افزار در دانشکده مهندسی کامپیوتر، دانشگاه علم و صنعت ایران است.

نشانی رایانمۀ ایشان عبارت است از:

azgomi@iust.ac.ir



سید احمد موسوی, در سال ۱۳۸۵ مدرک کارشناسی خود را در رشته ریاضی محض از دانشگاه کاشان دریافت کرد. همچنین در سال ۱۳۸۸ مدرک کارشناسی ارشد و در سال ۱۳۹۳ مدرک دکتراخود را در رشته

ریاضی از دانشگاه شهید باهنر کرمان اخذ کرد. زمینه‌های پژوهشی مورد علاقه ایشان نظریه اطلاعات کوانتومی، نظریه ماتریس‌ها، رمزگاری و تحلیل الگوریتم‌های رمز است.

نشانی رایانمۀ ایشان عبارت است از:

s.a.mousavi@math.uk.ac.ir

[5] P. Flajolet, and R. Sedgewick, *An introduction to analysis of algorithms*, Addison-Wesley, 2013.

[6] B. Harris, "Probability distributions related to random mappings", *The Annals of Mathematical Statistics*, pp. 1045–1062, 1960.

[7] M. Hellman, "A cryptanalytic time-memory trade-off", *IEEE Transactions on Information Theory IT*, vol. 26, pp. 401–406, 1980.

[8] J. Hong, and S. Moon, "A comparison of cryptanalytic tradeoff algorithms", *Journal of cryptology*, vol. 26 (4), pp. 559-637, 2013.

[9] J. Hong and B.I. Kim, "Performance comparison of cryptanalytic time memory data tradeoff methods", *Bull. Korean Math. Soc.*, vol. 53(5), pp. 1439-1446, 2016.

[10] V. Kolchin, "Random mapp-ings", Translations series in mathematics and engineering, Optimization Software, Inc., Publications Division, 1986.

[11] K. Kusuda, and T. Matsumoto, "Optimization of time-memory trade-off cryptanalysis and its application to DES", *FEAL-32, and Skipjack*, E-79A, pp. 35–48, 1996.

[12] G. W. Lee, and J. Hong, "Comparison of perfect table cryptanalytic tradeoff algorithms", *Designs, Codes and Cryptography*, pp. 473-523, 2016.

[13] R.C. Phan, "Mini advanced encryption standard (mini-AES): a testbed for cryptanalysis students", *Cryptologia*, vol. 26(4), pp. 283-306, 2002.

[14] Ph. Oechslin, "Making a faster cryptanalytic time-memory trade-off", *Annual International Cryptology Conference*, Springer Berlin Heidelberg, 2003.



ناصرحسین غربی, تحصیلات دانشگاهی خود در مقطع کارشناسی در رشته مهندسی مخابرات در سال ۱۳۷۵ از دانشگاه تهران، کارشناسی ارشد در رشته مخابرات رمز در سال ۱۳۸۰ و مدرک دکتراخود را در رشته مهندسی دفاع سایبری در سال ۱۳۹۶ از دانشگاه جامع امام حسین (ع) اخذ کرد. زمینه‌های پژوهشی مورد علاقه ایشان، طراحی، ارزیابی، تحلیل و شکست الگوریتم‌ها و پروتکل‌های رمزگاری و همچنین امنیت شبکه است.

نشانی رایانمۀ ایشان عبارت است از:

hgharavi@ihu.ac.ir

فصلنامه

سال ۱۳۹۷ شماره ۳ پیاپی ۲۷

